



آشکارسازی تغییرات در مناطق شهری و نیمه شهری با استفاده از الگوریتم رقابت استعماری در تصاویر با توان تفکیک مکانی بالا

حمیدرضا فتاحی^{۱*}، محمود رضا صاحبی^۲

- ۱- دانشجوی کارشناسی ارشد رشته سنجش از دور دانشگاه صنعتی خواجه نصیرالدین طوسی
۲- دانشیار گروه فتوگرامتری و سنجش از دور دانشگاه صنعتی خواجه نصیرالدین طوسی

چکیده:

سطح زمین در مقیاس محلی و جهانی به سرعت در حال تغییر است و این موضوع با انعکاس ویژه‌ای در زندگی مردم، اقتصاد، محیط زیست و ... همراه است. آشکارسازی تغییرات کاربری و پوشش زمین به منظور تصمیم‌گیری صحیح و به تبع آن تسهیل مدیریت و پایش توسعه شهری در مناطق شهری و نیمه شهری و استفاده بهینه از منابع، حائز اهمیت است. در این تحقیق، از تصاویر ماهواره‌ای سنجنده‌های QuickBird و GeoEye، استفاده شده است. پس از انجام تصحیحات هندسی و رادیومتریکی و همچنین اعمال پیش پردازش‌های لازم بر روی تصاویر، اختلاف درجات خاکستری در تمام باندها محاسبه شد و نمونه‌های آموزشی در اختیار الگوریتم رقابت استعماری قرار گرفت. با اعمال این الگوریتم بر روی تصاویر، نقشه اولیه تغییرات به دست آمد. سپس با استخراج اطلاعات همسایگی پیکسل‌ها، قوانینی برای تغییرات به دست آمده توسط الگوریتم تولید شده و بر روی نقشه اولیه تغییرات به صورت پس‌پردازش اعمال شد و نقشه تغییرات نهایی به دست آمد. این نقشه با در نظر گرفتن داده‌های تست مورد ارزیابی قرار گرفت و دقت آشکارسازی، نرخ هشدار اشتباه و نرخ خطای کل برآورد گردید. این الگوریتم با اعمال پس‌پردازش بر روی نتایج، به دقت آشکارسازی کلی ۹۱/۵۹ درصد رسید که نشان‌دهنده کارایی الگوریتم مذکور در آشکارسازی تغییرات می‌باشد.

واژه‌های کلیدی: آشکارسازی تغییرات، الگوریتم هوشمند رقابت استعماری، تصاویر چند زمانه ماهواره‌ای

۱- مقدمه

قابلیت بالای تکنولوژی سنجش از دور در اخذ داده در سطح وسیع و مخصوصاً غلبه بر محدودیت‌های مرزی کشورها باعث گسترش روزافزون استفاده از این فناوری شده است. سنجش از دور با در اختیار قرار دادن اطلاعات بسیار مفید از سطح زمین توانسته در بسیاری از برنامه‌ریزی‌های مدیریتی شهری، در مدیریت بحران‌های ناشی از حادث طبیعی یا غیر طبیعی نظیر سیل، زلزله، آتش‌سوزی، تخریب جنگل، پایش تغییرات و کاربردهای بسیار دیگری جایگاه ویژه‌ای را به خود اختصاص دهد [۱].

به منظور ایجاد شرایط لازم جهت بهره‌گیری از پتانسیل بسیار بالای این تکنولوژی، نیازی روز افزون جهت افزایش خودکارسازی روند تولید و تفسیر نقشه‌ها احساس می‌شود. در این راستا وقتی برای یک مسئله (که می‌تواند تفسیر یا پردازش تصاویر سنجش از دور باشد) راه حل‌های مختلفی مواجه می‌شویم، مسئله بهینه‌یابی مطرح می‌شود. مسائل بهینه‌یابی سعی می‌کنند انتخاب بهترین جواب را تسریع کنند. در مسائل بهینه‌یابی که استفاده از روش‌های دقیق برای رسیدن به جواب بهینه ممکن نباشد، به سراغ الگوریتم‌های هوشمند می‌رویم. در واقع الگوریتم‌های بهینه‌یابی هوشمند، معمولاً در مسائلی به کار می‌روند که ابعاد فضای جستجو بزرگ باشد و رسیدن به جواب بهینه در میان تعداد بسیار زیاد جواب‌های محتمل با استفاده از سایر روش‌ها امکان‌پذیر نباشد [۲].

یکی از الگوریتم‌هایی که اخیراً در مسائل مختلف بهینه‌یابی مورد استفاده قرار می‌گیرد، الگوریتم رقابت استعماری^۱ می‌باشد. این الگوریتم با الهام‌گیری از یک فرآیند اجتماعی سیاسی، نسبت به روش‌های مطرح شده دارای توانایی بالایی بوده و نیز تا حد بسیار زیادی، سریع می‌باشد.

همان‌گونه که بیان شد، هدف اصلی این تحقیق شناسایی تغییرات در مناطق شهری و نیمه‌شهری با استفاده از الگوریتم رقابت استعماری می‌باشد. به دلیل پیچیدگی‌های مورفولوژی و گستره طیفی زیاد در مناطق شهری، ما از تصاویر با قدرت تفکیک مکانی بالا استفاده کردیم.

۲- مجموعه داده مورد استفاده

در این تحقیق، از تصاویر سنجنده‌های با حد تفکیک مکانی بالای QuickBird (متعلق به سال ۱۳۸۵) و GeoEye (متعلق به سال ۱۳۸۹)، جهت شناسایی تغییرات شهرک آزادشهر واقع در ناحیه هشت منطقه ۲۲ استان تهران، استفاده شده است. منطقه مورد مطالعه بین طول‌های جغرافیایی ۵۱ درجه و ۱۱ دقیقه و ۲۷ ثانیه شمالی و ۵۱ درجه و ۱۱ دقیقه و ۲۶ ثانیه شمالی و هم‌چنین عرض‌های جغرافیایی ۳۵ درجه و ۴۴ دقیقه و ۳ ثانیه شرقی و ۳۵ درجه و ۴۳ ثانیه و ۴۵ ثانیه شرقی قرار دارد.

به دلیل عدم دسترسی به باند مادون قرمز نزدیک در تصاویر، از ۳ یاند در طول موج مرئی استفاده شد. جزئیات این تصاویر در جدول (۱) نشان داده شده است.

جدول ۱: مشخصات تصاویر مورد استفاده

GeoEye	QuickBird	سنجنده
۷۷۰ کیلومتر	۴۵۰ کیلومتر	ارتفاع پرواز
Red- Green - Blue	Red- Green - Blue	باندها
۱۳۸۹ - ۰۵ - ۲۵	۱۳۸۵ - ۰۷ - ۱۳	تاریخ اخذ تصویر
۰/۵۵ متر	۰/۶ متر	توان تفکیک مکانی

^۱ Imperialist Competitive Algorithm

۳- روش پیشنهادی برای شناسایی تغییرات

مراحل اجرای پروسه شناسایی تغییرات مطرح شده، شامل موارد ذیل می‌باشد :

- پیش‌پردازش
- حذف سایه‌ها
- الگوریتم رقابت استعماری جهت شناسایی تغییرات
- پس‌پردازش

۱-۱- پیش‌پردازش

مرحله پیش‌پردازش معمولاً اولین مرحله هر تحقیقی می‌باشد. صرف نظر از روش مورد استفاده برای آشکارسازی تغییرات، جهت آماده‌سازی تصاویر چند زمانه و ورود به آنالیزهای اصلی، پیش‌پردازش‌هایی مورد نیاز است.

پیش‌پردازش تصاویر ماهواره‌ای چند زمانه از منطقه مورد نظر، شامل سه بخش نمونه‌برداری مجدد^۱، تصحیحات هندسی^۲ و رادیومتریک^۳ است. تصاویر مورد استفاده از قبل زمین مرجع هستند. به همین دلیل از مرحله تصحیح هندسی صرف نظر خواهد شد.

از آنجایی که دو تصویر از دو منبع سنجش از دوری متفاوت اخذ شده اند و دارای رزولوشن مکانی مختلف از همدیگر می‌باشند، قبل از ورود به فرآیند آشکارسازی تغییرات باید از لحاظ اندازه پیکسل با یکدیگر یکسان شوند. برای این منظور ابتدا اندازه پیکسل‌های تصویر ماهواره‌ای سنجنده GeoEye با استفاده از الگوریتم نمونه‌برداری مجدد نزدیکترین همسایه، از نظر قدرت تفکیک مکانی با تصویر ماهواره‌ای سنجنده QuickBird یکسان خواهد شد. پس از یکسان‌سازی اندازه پیکسل‌های دو تصویر، تصویر سال ۱۳۸۹ به علت تغییر اندازه‌های پیکسل، باید نسبت به تصویر ۸۵، رجیستر^۴ شود. علت این امر جابجایی مراکز پیکسل‌های تصویر نامبرده در فرآیند یکسان‌سازی اندازه پیکسل‌های تصویر بوده است.

در مرحله بعدی پیش‌پردازش، تصحیح رادیومتریک صورت می‌گیرد. به منظور تصحیحات رادیومتریک، از روش‌های نرمالیزاسیون نسبی استفاده می‌شود. یکی از روش‌های متداول نرمالیزاسیون نسبی، الگوریتم تطابق‌هیستوگرام^۵ دو تصویر چند زمانه است. در این روش، هیستوگرام تصویر هدف (تصویر سال ۱۳۸۵)، با استفاده از هیستوگرام تصویر مرجع (تصویر سال ۱۳۸۹) طوری تغییر داده می‌شود تا ویژگی‌های رادیومتریکی دو تصویر مذکور مشابه یکدیگر شده و اختلاف بین مقادیر درجات خاکستری در این دو تصویر کاهش یابد[۳].

شکل (۱)، تصاویر مورد استفاده جهت شناسایی تغییرات و همچنین تصویر سال ۱۳۸۵ پس از تطابق هیستوگرام با استفاده از تصویر مرجع (سال ۱۳۸۹) را نشان می‌دهد.

¹ Resampling

² Geometric Correction

³ Radiometric Correction

⁴ Co-Register

⁵ Histogram Matching



شکل ۱: تصاویر مورد استفاده و خروجی تطبیق هیستوگرام

۲-۳- حذف سایه‌ها

در تصاویر ماهواره‌ای شامل مناطق شهری، سایه ساختمان‌ها، عوارض طبیعی و غیر طبیعی و سایر اماكن، تاثیرات بسیاری بر روی دقت بسیاری از کاربردهای سنجش از دور خواهد داشت. در روند الگوریتم شناسایی تغییرات نیز حذف سایه‌ها به منظور افزایش دقت از اهمیت بالایی برخوردار است.

بدین منظور، ابتدا ویژگی‌هایی از تصاویر، در فضای ^۱RGB و ^۲HIS استخراج شده و با استفاده از یک حدآستانه برای هر ویژگی، تصاویر باینری از هر ویژگی تولید می‌شود، سپس با تلاقی این تصاویر باینری، سایه‌ها استخراج شده و از تصویر حذف خواهد شد. در این تحقیق از روش ارائه شده در [۴] استفاده شده است.

۲-۳-۱- آنالیز ویژگی‌های سایه‌ها

براساس مدل فونگ ^۳[۵]، ^۴ ویژگی جهت کشف سایه‌ها مورد بررسی قرار می‌گیرد که شامل موارد ذیل هستند:

- ❖ جزء H، در فضای HIS، در مناطق سایه بیشتر از مناطق غیر سایه است. بنابراین جزء H، ویژگی موثری در تمیز دادن سایه‌ها از غیر سایه خواهد بود.
- ❖ مقادیر درجات خاکستری سایه‌ها در باند آبی (B)، از سایر مناطق در تصاویر سنجش از دوری بیشتر است. بنابراین این ویژگی می‌تواند به صورت قابل ملاحظه‌ای در شناسایی سایه‌ها موثر باشد.
- ❖ از آنجا که مقادیر جزء H، در خاک و گیاهان مقادیر زیادی است، لذا می‌بایست این مناطق از سایه‌ها تفکیک شوند. پس مقدار درجه خاکستری باند سبز (G) منهای مقدار درجه خاکستری باند آبی (B)، این تفکیک پذیری بین سایه‌ها و مناطق خاک و گیاهی را ایجاد خواهد کرد. مقادیر این ویژگی در سایه‌ها کمتر از سایر مناطق می‌باشد.

$$m_{GB} = G - B \quad (1)$$

- ❖ تفاضل جزء I و جزء S در فضای HIS، باعث تفکیک‌پذیری سایه‌ها از سایر مناطق در تصاویر خواهد بود. سایه‌ها دارای مقادیر کمتری از این ویژگی خواهند بود.

¹ Red – Green – Blue

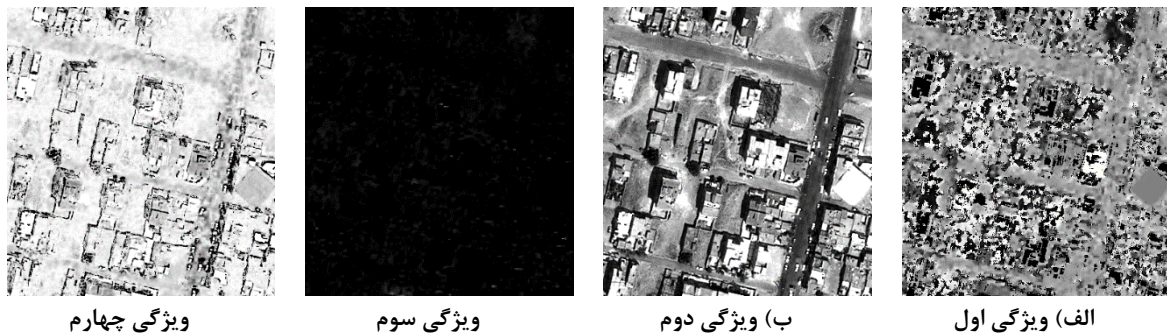
² Hue – Intensity – Saturation

³ Phong illumination model

$$m_{IS} = I - S$$

رابطه (۲)

در شکل (۲)، تصاویر مربوط به ویژگی‌های ۴ گانه مستخرج، جهت کشف و حذف سایه‌های مربوط به تصویر سال ۱۳۸۹ درج شده است.



شکل ۲: تصاویر مربوط به ویژگی‌های استخراج شده برای تصویر سال ۱۳۸۹

۲-۲-۳- استخراج سایه‌ها

پس از تولید ویژگی‌های ۴ گانه، با استفاده از یک حدآستانه گذاری و تولید تصاویر باینری از این ویژگی‌ها، و تلفیق این تصاویر، می‌توان سایه‌ها را استخراج کرد. انتخاب حدآستانه مناسب، در دقت نهایی این فرآیند بسیار موثر خواهد بود. لذا برای افزایش دقت، از الگوریتم اتسو^۱ (Otsu) برای انتخاب اتوماتیک این حدآستانه استفاده شده است [۶].

الگوریتم Otsu، با یک هیستوگرام نرمال از یکتابع چگالی احتمال آغاز می‌شود که به صورت زیر بیان می‌شود :

$$P_q(r_q) = \frac{n_q}{n} \quad q = 0, 1, 2, \dots, L-1 \quad \text{رابطه (۳)}$$

که در این فرمول، n تعداد کل پیکسل‌های تصویر، n_q تعداد پیکسل‌هایی هستند که دارای مقدار r_q هستند. همچنین L ، تعداد مقادیر درجه خاکستری محتمل در تصویر می‌باشد. هدف این الگوریتم انتخاب مقدار حدآستانه می‌باشد که تابع مربعات خطرا ماقریم کند. این تابع به صورت زیر بیان می‌شود [۶] :

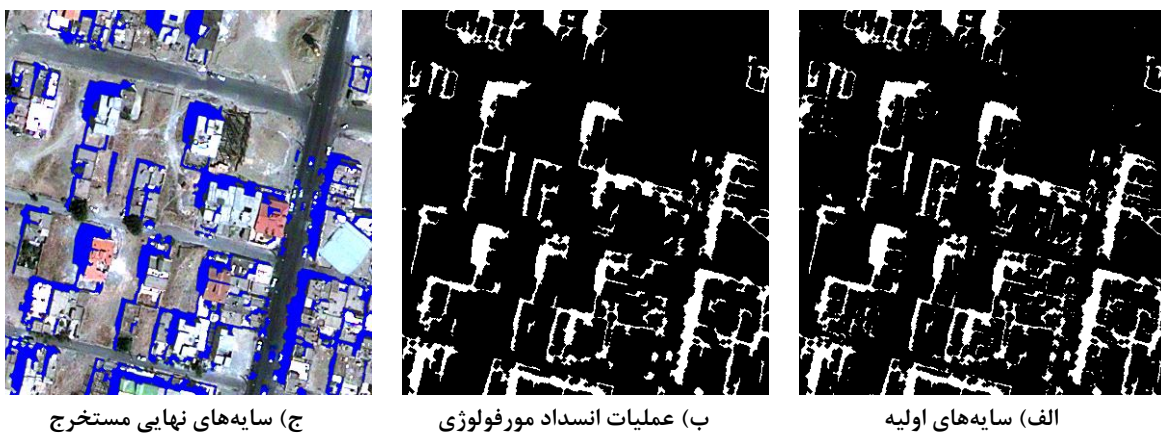
$$\sigma_B^2 = \omega_0(u_0 - u_T)^2 + \omega_1(u_1 - u_T)^2 \quad \text{رابطه (۴)}$$

که پارامترهای این رابطه به صورت ذیل هستند :

$$\omega_0 = \sum_{q=0}^{K-1} P_q(r_q) \quad , \quad \omega_1 = \sum_{q=K}^{L-1} P_q(r_q) \quad \text{رابطه (۵)}$$

$$u_0 = \frac{\sum_{q=0}^{K-1} q P_q(r_q)}{\omega_0} \quad , \quad u_1 = \frac{\sum_{q=K}^{L-1} q P_q(r_q)}{\omega_1} \quad , \quad u_T = \sum_{q=0}^{L-1} q P_q(r_q) \quad \text{رابطه (۶)}$$

^۱ Otsu Algorithm



شکل ۳: عملیات استخراج سایه‌ها برای تصویر سال ۱۳۸۹

برای هر 4^{th} ویژگی، فرآیند انتخاب حدآستانه به صورت فوق انجام شد، سپس با تلفیق و تقاطع هر 4^{th} ویژگی، سایه‌ها به صورت اولیه کشف و در نهایت با عملیات مورفولوژی به صورت پس پردازش، سایه‌ها استخراج و از تصاویر حذف شدند [۴].

در قسمت اول شکل (۳)، پس از حدآستانه‌گذاری چند گانه بر روی تصاویر ویژگی‌های 4^{th} گانه، سایه‌ها به صورت اولیه کشف شده‌اند. در قسمت دوم این شکل، با استفاده از عملیات انسداد مورفولوژی^۱ سایه‌های اولیه بهبود پذیرفتند. هم‌چنین در قسمت سوم شکل، این سایه‌های کشف شده بر روی تصویر اصلی قرار گرفتند.

۳-۳- الگوریتم رقابت استعماری

الگوریتم مورد استفاده، همانند سایر روش‌های بهینه‌یابی تکاملی، با تعدادی جمعیت اولیه شروع می‌شود. در این الگوریتم، هر عنصر جمعیت، یک کشور نامیده می‌شود. کشورها به دو دسته مستعمره^۲ و استعمارگر^۳ تقسیم می‌شوند. هر استعمارگر، بسته به قدرت خود، تعدادی از کشورهای مستعمره را به سلطه خود درآورده و آن‌ها را کنترل می‌کند. سیاست جذب و رقابت استعماری، هسته اصلی این الگوریتم را تشکیل می‌دهند.

پس از انجام پیش پردازش‌ها و آماده‌سازی تصاویر، و همچنین پس از حذف سایه‌ها در هر دو تصویر، نمونه‌های آزمایشی و تست به صورت جداگانه تولید می‌شوند. مجموعه‌ای از پیکسل‌های آموزشی و تست به کلاس تغییر یافته و مجموعه‌ای به کلاس تغییر نیافته اختصاص خواهند یافت. سپس اختلاف درجات خاکستری دو تصویر در تمام باندها محاسبه شده و در اختیار الگوریتم قرار می‌گیرد.

۳-۱-۳- شکل دهی امپراطوری‌های اولیه

در بهینه‌سازی، هدف یافتن یک جواب بهینه بر حسب متغیرهای مسئله، است. ما یک آرایه از متغیرهای مسئله را که باید بهینه شوند، ایجاد می‌کنیم. در الگوریتم ژنتیک این آرایه، کروموزوم^۴ نامیده می‌شود. در اینجا نیز آن را یک کشور می‌نامیم. در یک مسئله‌ی بهینه‌سازی $N_{var}^{1 \times N}$ بعدی، یک کشور، یک آرایه است.

در این مقاله، هر کشور یک آرایه 1×3 بعدی است که هر بعد آن مقدار پیکسل در هر باند خواهد بود (چون تصاویر مورد استفاده ما شامل ۳ باند مرئی RGB هستند).

¹ Closing

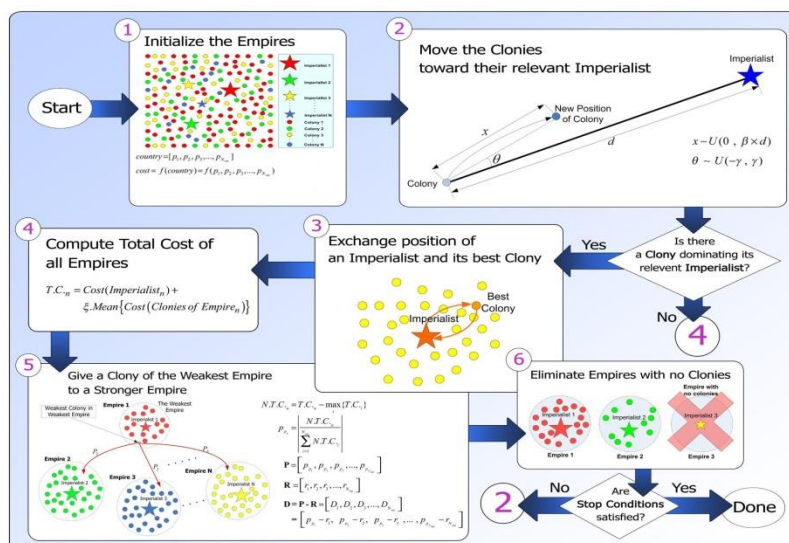
² Colony

³ Imperialist

⁴ Chromosome

در این مقاله، جهت رسیدن به امپراطوری‌های اولیه، از الگوریتم K-Means استفاده کردیم. بدین صورت که به ازای هر دو کلاس تغییر یافته و تغییر نیافته، به تعداد ۱۰ درصد از تعداد پیکسل‌های آموزشی مختص همان کلاس، خوش‌تعریف کرده و پس از طی مراحل الگوریتم K-Means، مراکز خوش‌های نهایی به عنوان امپراطوری اولیه انتخاب شدند. باقیمانده پیکسل‌هایی که به عنوان امپریالیست انتخاب نشده بودند به عنوان مستعمره در نظر گرفته شدند. برای تقسیم مستعمرات اولیه بین امپریالیست‌ها، به هر امپریالیست، تعدادی از مستعمرات را که این تعداد، متناسب با تعداد پیکسل‌هایی است که در آخرین مرحله خوش‌بندی در خوش نام جای داشتند (N.C.i)، نسبت خواهیم داد. با در نظر گرفتن N.C.i برای هر امپراطوری، به این تعداد از کشورهای مستعمره اولیه را به صورت تصادفی انتخاب کرده و به امپریالیست نام می‌دهیم. (امپراطوری‌های بزرگتر، تعداد بیشتری مستعمره دارند).

شکل (۴)، مراحل کلی الگوریتم رقابت استعماری را نمایش می‌دهد.



شکل ۴: روند کلی الگوریتم رقابت استعماری

۳-۲-۳-۱- اختصاص تک تک پیکسل‌های مجھول به عنوان مستعمره

پس از شکل گیری امپراطوری‌های اولیه، تک تک پیکسل‌های تصویر اختلاف درجهات خاکستری دو تصویر اولیه به صورت مجزا به عنوان مستعمره وارد فرآیند الگوریتم می‌شوند. این پیکسل به عنوان یک کشور قلمداد شده و دارای بعد به ازای ۳ مقدار درجه خاکستری در هر باند خواهد بود. این مستعمره به صورت تصادفی به یکی از امپراطوری‌ها اختصاص داده می‌شود.

۳-۲-۳-۲- مدل سازی سیاست جذب، حرکت مستعمره‌ها به سمت امپریالیست

با در نظر گرفتن شیوه نمایش یک کشور در حل مسئله بهینه‌سازی، در حقیقت این حکومت مرکزی با اعمال سیاست جذب سعی داشت تا کشور مستعمره را در راستای ابعاد مختلف اجتماعی سیاسی به خود نزدیک کند. این بخش از فرایند استعمار در الگوریتم بهینه‌سازی، به صورت حرکت مستعمرات به سمت کشور امپریالیست، مدل شده است.

کشور مستعمره، به اندازه x واحد در جهت خط واصل مستعمره به استعمارگر، حرکت کرده و به موقعیت جدید، کشانده می‌شود. فاصله میان استعمارگر و مستعمره با d نشان داده شده است. x نیز عددی تصادفی با توزیع یکنواخت (و یا هر توزیع مناسب دیگر) می‌باشد. یعنی برای x داریم [۷]:

$$x \sim U(0, \beta \times d)$$

رابطه (۷)

که در آن β عددی بزرگتر از یک و نزدیک به ۲ می‌باشد. یک انتخاب مناسب می‌تواند $\beta = 2$ باشد. وجود ضریب $\beta > 1$ باعث می‌شود تا کشور مستعمره در حین حرکت به سمت کشور استعمارگر، از جهت‌های مختلف به آن نزدیک شود.

با بررسی تاریخی پدیده همگون‌سازی، یک حقیقت آشکار در این زمینه این است که علی‌رغم اینکه کشورهای استعمارگر بطور جدی پیگیر سیاست جذب بودند، اما واقعی بطور کامل مطابق سیاست اعمال شده آنها پیش نمی‌رفت و انحرافاتی در نتیجه کار وجود داشت. در الگوریتم معروف شده، این انحراف احتمالی با افزودن یک زاویه تصادفی به مسیر جذب مستعمرات، انجام می‌گیرد. بدین منظور این‌بار به جای حرکت به اندازه x ، به سمت کشور استعمارگر و در جهت بردار واصل مستعمره به استعمارگر، به همان میزان، ولی با انحراف θ در مسیر، به حرکت خود ادامه می‌دهد. θ را به صورت تصادفی و با توزیع یکنواخت در نظر می‌گیریم [۷ و ۸]، پس :

$$\theta \sim U(-\gamma, \gamma)$$

رابطه (۸)

در این رابطه، γ پارامتری دلخواه می‌باشد که افزایش آن باعث افزایش جستجوی اطراف امپریالیست شده و کاهش آن نیز باعث می‌شود تا مستعمرات تا حد ممکن، به بردار واصل مستعمره به استعمارگر، نزدیک حرکت کنند. با در نظر گرفتن واحد رادیان برای θ ، انتخاب مناسبی بود.

۴-۳-۴- جابجایی موقعیت مستعمره و امپریالیست

در حین حرکت مستعمرات به سمت کشور استعمارگر، ممکن است بعضی از این مستعمرات به موقعیتی بهتر از امپریالیست برسند. در این حالت، کشور استعمارگر و کشور مستعمره، جای خود را با هم‌دیگر عوض کرده و الگوریتم با کشور استعمارگر در موقعیت جدید ادامه یافته و این‌بار، این کشور امپریالیست جدید است که شروع به اعمال سیاست همگون‌سازی بر مستعمرات خود می‌کند.

۴-۳-۵- قدرت کل یک امپراطوری

قدرت یک امپراطوری برابر است با قدرت کشور استعمارگر، به اضافه درصدی از قدرت کل مستعمرات آن. بدین ترتیب برای هزینه کل یک امپراطوری داریم [۷].

$$T.C_n = Cost(imperialist_n) + \xi mean\{Cost(colonies of empire_n)\} \quad \text{رابطه (۹)}$$

که در آن $T.C_n$ هزینه کل امپراطوری n ام و ξ عددی مثبت است که معمولاً بین صفر و یک و نزدیک به صفر در نظر گرفته می‌شود. کوچک در نظر گرفتن ξ ، باعث می‌شود که هزینه کل یک امپراطوری، تقریباً برابر با هزینه حکومت مرکزی آن (کشور امپریالیست)، شود و افزایش ξ نیز باعث افزایش تاثیر میزان هزینه مستعمرات یک امپراطوری در تعیین هزینه کل آن می‌شود. در این مقاله، $\xi = 0.05$ به جوابهای مطلوبی منجر شد.

هم چنین قدرت هر استعمارگر و قدرت کشورهای مستعمره با استفاده از روابط تئوری بیز^۱ به صورت ذیل بدست آمده است :

$$P(x) = N(\mu, \sigma^2) = \frac{1}{\sqrt{2\pi}\sigma} \exp\left[-\frac{1}{2}\left(\frac{x-\mu}{\sigma}\right)^2\right] \quad \text{رابطه (۱۰)}$$

جایی که μ بردار میانگین مقادیر درجات خاکستری هر امپراطور و σ^2 بردار کواریانس هر امپراطور می‌باشد.

$$\mu = E[x] = \int_{-\infty}^{\infty} x P(x) dx \quad \text{رابطه (۱۱)}$$

$$\sigma^2 = \sum_i = E[(x - \mu)^2] = \int_{-\infty}^{\infty} (x - \mu)^2 P(x) dx \quad \text{رابطه (۱۲)}$$

پس به ازای هر کشور در هر امپراطور، بردار (x) را برآورد می‌کنیم و به عنوان قدرت آن کشور در نظر می‌گیریم.

$$g(x) = -\frac{1}{2}(x - \mu_i)^T \Sigma_i^{-1}(x - \mu_i) - \frac{1}{2} \ln |\Sigma_i| \quad \text{رابطه (۱۳)}$$

بزرگ بودن این مقدار برای هر کشور، نشان دهنده قدرت بیشتر آن کشور در امپراطور مربوطه است. این مقدار، نشان دهنده نزدیک بودن آن کشور به کشورهای موجود (اعمال سیاست جذب بهتر امپراطوری) در امپراطور و هم‌چنین هزینه کمتر جذب برای همگون سازی مستعمرات به سوی خود است.

۳-۶-۳- رقابت استعماري

هر امپراطوری که نتواند بر قدرت خود بیفزاید و قدرت رقابت خود را از دست بدهد، در جریان رقابت‌های امپریالیستی، حذف خواهد شد. این حذف شدن، به صورت تدریجی صورت می‌پذیرد. بدین معنی که به مرور زمان، امپراطوری‌های ضعیف، مستعمرات خود را از دست داده و امپراطوری‌های قویتر، این مستعمرات را تصاحب کرده و بر قدرت خویش می‌افرایند. بدین ترتیب، در تکرار الگوریتم، یکی یا چند تا از ضعیفترین مستعمرات ضعیفترین امپراطوری را برداشته و برای تصاحب این مستعمرات، رقابتی را میان کلیه امپراطوری‌ها ایجاد می‌کنیم.

برای مدل‌سازی رقابت میان امپراطوری‌ها برای تصاحب این مستعمرات، ابتدا احتمال تصاحب هر امپراطوری (که متناسب با قدرت آن امپراطوری می‌باشد)، را با در نظر گرفتن هزینه کل امپراطوری، به ترتیب زیر محاسبه می‌کنیم. ابتدا از روی هزینه کل امپراطوری، هزینه کل نرمالیزه شده آن را تعیین می‌کنیم.

$$N.T.C_n = \max_i \{T.C_i\} - T.C_n \quad \text{رابطه (۱۴)}$$

^۱ Bayesian Theory

در این رابطه $T.C_{\cdot n}$ ، هزینه کل امپراطوری \ln و $N.T.C_{\cdot n}$ نیز، هزینه کل نرمالیزه شده آن امپراطوری می‌باشد. هر امپراطوری که $T.C_{\cdot n}$ کمتری داشته باشد $N.T.C_{\cdot n}$ بیشتری خواهد داشت. در حقیقت $T.C_{\cdot n}$ معادل هزینه کل یک امپراطوری و $N.T.C_{\cdot n}$ معادل قدرت کل آن می‌باشد.

امپراطوری با کمترین هزینه، دارای بیشترین قدرت است. با داشتن هزینه کل نرمالیزه شده، احتمال (قدرت) تصاحب مستعمره رقابت، توسط هر امپراطوری، به صورت زیر محاسبه می‌شود.

$$p_{p_n} = \frac{N T C_{\cdot n}}{\sum_{i=1}^{N_{imp}} N T C_{\cdot i}} \quad (15)$$

با داشتن احتمال تصاحب هر امپراطوری، برای اینکه مستعمرات مذکور را به صورت تصادفی، ولی با احتمال وابسته به احتمال تصاحب هر امپراطوری، بین امپراطوری‌ها تقسیم کنیم؛ بردار P را از روی مقادیر احتمال فوق، به صورت زیر تشکیل می‌دهیم.

$$P = [p_{p_1}, p_{p_2}, p_{p_3}, \dots, p_{p_{N_{imp}}}] \quad (16)$$

بردار P دارای سایز 1^*N_{imp} می‌باشد و از مقادیر احتمال تصاحب امپراطوری‌ها تشکیل شده است. سپس بردار تصادفی R ، همسایز با بردار P را تشکیل می‌دهیم. آرایه‌های این بردار، اعدادی تصادفی با توزیع یکنواخت در بازه $[0,1]$ می‌باشند.

$$R = [r_1, r_2, r_3, \dots, r_{N_{imp}}] \quad (17)$$

$$r_1, r_2, r_3, \dots, r_{N_{imp}} \square U(0,1)$$

$$D = P - R = [D_1, D_2, D_3, \dots, D_{N_{imp}}] = [p_{p_1} - r_1, p_{p_2} - r_2, p_{p_3} - r_3, \dots, p_{p_{N_{imp}}} - r_{N_{imp}}] \quad (18)$$

با داشتن بردار D ، مستعمرات مذکور را به امپراطوری‌ای می‌دهیم که اندیس مربوط به آن در بردار D بزرگتر از بقیه می‌باشد. امپراطوری‌ای که بیشترین احتمال تصاحب را داشته باشد، با احتمال بیشتری اندیس مربوط به آن در بردار D ، بیشترین مقدار را خواهد داشت [۷].

با تصاحب مستعمره توسط یکی از امپراطوری‌ها، عملیات این مرحله از الگوریتم نیز به پایان می‌رسد.

۷-۳-۳- سقوط امپراطوری‌های ضعیف

همانگونه که بیان شد، در جریان رقابت‌های امپریالیستی، خواه ناخواه، امپراطوریهای ضعیف به تدریج سقوط کرده و مستعمراتشان به دست امپراطوری‌های قوی‌تر می‌افتد [۸].

۸-۳-۳- همگرایی

الگوریتم مورد نظر تا برآورده شدن یک شرط همگرایی، و یا تا اتمام تعداد کل تکرارها، ادامه می‌باید. در این مقاله، ما تعداد تکرارها را ۲۰۰۰ در نظر گرفتیم.

همانطور که گفته شد مراحل فوق به ازای تمام پیکسل‌های تصویر انجام می‌شود و در نهایت هر پیکسل نسبت به امپراتوری‌ای که بعد از اتمام تکرارها در آن جای دارد برچسب تغییر یافته و یا تغییر نیافته را می‌گیرد و نقشه اولیه تغییرات ایجاد می‌شود. شکل ۵، این نقشه را نمایش می‌دهد.

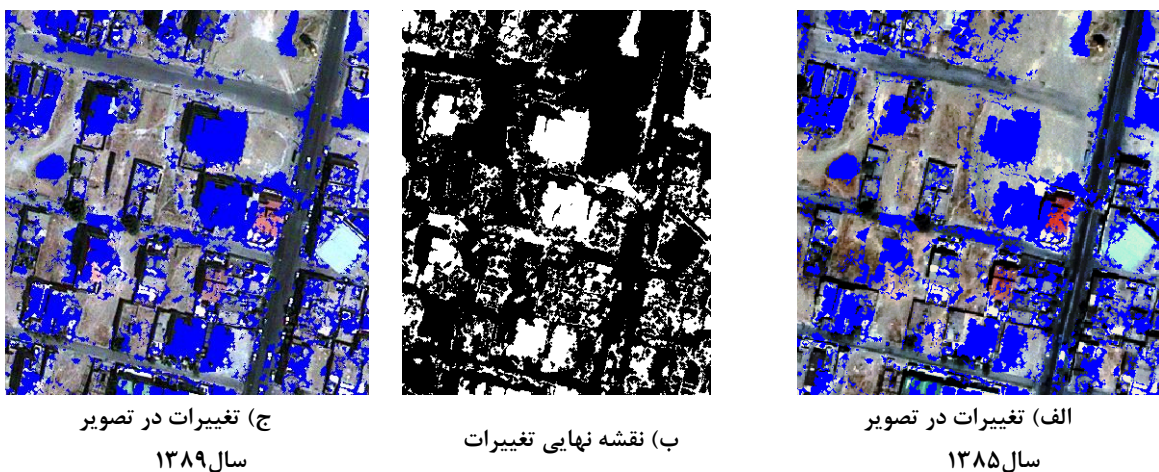


شکل ۵ : نقشه اولیه تغییرات بدون اعمال پس پردازش

۳-۴- پس پردازش

پس از اتمام الگوریتم رقابت استعماری و رسیدن به نقشه اولیه تغییرات، به جهت افزایش دقیقت روند پروسه کشف تغییرات، می‌باشد یک سری پس پردازش بر روی نقشه به دست آمده انجام شود.

این پس‌پردازش شامل اعمال ویژگی‌های همسایگی بر روی نقشه تغییرات خواهد بود. بر این اساس یک سری قوانین همسایگی که به صورت تجربی به دست آمد که در پنجره‌های ۳*۳ و ۵*۵ و ۷*۷ ایجاد شده و بر روی نقشه تغییرات اعمال شد. نقشه نهایی تغییرات در شکل ۶ نشان داده شده است.



شکل ۶ : نقشه نهایی تغییرات با اعمال پس‌پردازش

۴- بحث و نتیجه‌گیری

به منظور ارزیابی نتایج، نقشه تغییرات به دست آمده نهایی با داده‌های تست جمع‌آوری شده از منطقه، مقایسه شده و از نظر کمی ارزیابی شد. بدین منظور دقیق آشکارسازی (درصد درست طبقه‌بندی شدن پیکسل‌های تست "تغییر یافته")، نرخ هشدار اشتباه (درصد پیکسل‌های تست "تغییر نیافته" که به اشتباه به عنوان "تغییر یافته"

طبقه‌بندی شده‌اند) و نرخ خطای کل (درصد پیکسل‌هایی که به اشتباه طبقه‌بندی شده‌اند) برآورد گردید.
این نتایج در جدول (۲) بیان شده است.

همانطور که ملاحظه می شود، با اعمال اطلاعات همسایگی، دقت کلی آشکارسازی افزایش یافته و نرخ هشدار اشتباه و همچنین نرخ خطای کل کاهش یافته که این امر، تاثیر مثبت این پی پردازش را نشان می دهد.

این پژوهش نشان داد که الگوریتم‌های هوشمند پتانسیل بالایی در آشکارسازی تغییرات در تصاویر ماهواره‌ای داشته و ممکنند دقت قابل قبولی در این زمینه ارئه دهند.

جدول ۲: نتایج به دست آمده

بدون در نظر گرفتن اطلاعات همسایگی	با در نظر گرفتن اطلاعات همسایگی	
۰/۸۹۶۵	۰/۸۷۸۳	دقت کلاس اول (تغییر یافته)
۰/۹۳۵۴	۰/۹۱۰۲	دقت کلاس دوم (تغییر نیافته)
۰/۹۱۵۹	۰/۸۹۴۲	دقت کلی آشکارسازی
۰/۰۶۴۶	۰/۰۸۹۸	نرخ هشدار اشتباه
۰/۰۸۴۱	۰/۱۰۵۴	نرخ خطای کل

با اعمال تغییراتی در روش‌های انتخاب امپراطوری‌های اولیه و همچنین فرمول‌های مورد استفاده در مراحل مختلف الگوریتم و بهره‌گیری بیشتری از روند رقابت استعماری از دنیا واقعی و همچنین اضافه کردن انقلاب در کشورهای مستعمره ممکن است به نتایج بهتر و دقیق‌تری جهت کشف تغییرات دست یافته

مراجعة

- [۱] صالحی.س، آشکارسازی تغییرات کاربری اراضی مبتنی بر میدان‌های تصادفی مارکوف بر روی تصاویر SAR پیشنهاد پایان نامه برای اخذ درجه کارشناسی ارشد، گروه مهندسی سنجش از دور، دانشکده مهندسی نقشه‌برداری، دانشگاه صنعتی خواجه نصیر الدین طوسی، آبان ۱۳۹۰.

[2] B.D. Bunday, "Basic Optimisation methods", Edward Arnold, 1984.

[3] Richard, "Remote sensing digital image analyse", pp.194-206, 2006.

[4] Hui Luo and Zhenfeng Shao, "A Shadow Detection Method from Urban High Resolution Remote Sensing Image Based on Color Features of Shadow ",Fourth International Symposium on Information Science and Engineering , 2012.

[5] B. T. Phong, "Illumination for computer generated pictures," Communications of the ACM, vol. 18, pp. 311-317, 1975.

[6] N. Otsu, "A threshold selection method from gray-level histograms," Automatica, vol. 11, pp. 23 27, 1975.

[7] E. Atashpaz-Gargari and C. Lucas, "Imperialist Competitive Algorithm: An algorithm for optimization inspired by imperialistic competition", IEEE Congress on Evolutionary Computation, Singapore, 2007.

[8] S. Karami and Sh.B. Shokouhi,"Application of Imperialist Competitive Algorithm for Automated Classification of Remote Sensing Images",International Journal of Computer Theory and Engineering Vol. 4, No. 2, April 2012.